

Tarea 10 - Atrasada

Roberto Cadena Vega

12 de marzo de 2015

Análisis de estabilidad para sistema bajo realimentación integral

Ejemplo 1

Dado el sistema:

$$\dot{x}(t) = Ax(t) + Bu(t - h)$$

con la ley de control:

$$u(t) = k \left[x(t) + \int_{-h}^0 e^{-A(\theta+h)} Bu(t+\theta) d\theta \right]$$

por lo que el sistema en lazo cerrado es:

$$\dot{x}(t) = \left(A + e^{-Ah} BK \right) x(t)$$

el sistema para el que haremos este desarrollo es:

$$\dot{x}(t) = \begin{pmatrix} 0 & 0 \\ 1 & 1 \end{pmatrix} x(t) + \begin{pmatrix} 1 \\ 0 \end{pmatrix} u(t - h)$$

con $h = 1$.

Calculando $e^{-A(\theta+h)}$ tenemos:

```
In [2]: from IPython.display import display
```

```
from sympy import var, sin, cos, Matrix, Integer, eye, Function, Rational, exp, Symbol, I
from sympy.physics.mechanics import mlatex, mechanics_printing
from sympy.integrals import laplace_transform
mechanics_printing()
```

```
In [3]: var("t h \theta s \omega")
```

```
Out[3]:
```

$(t, h, \theta, s, \omega)$

```
In [4]: A = Matrix([[0, 0], [1, 1]])
A
```

```
Out[4]:
```

$$\begin{bmatrix} 0 & 0 \\ 1 & 1 \end{bmatrix}$$

```
In [5]: exp(-A*(\theta+ h))
```

Out [5] :

$$\begin{bmatrix} 1 & 0 \\ e^{-h-\theta} - 1 & e^{-h-\theta} \end{bmatrix}$$

Sustituyendo A, B y $e^{-A(t+\theta)}$ en $u(t)$, tenemos:

$$\begin{aligned} u(t) &= (k_1 \quad k_2) x(t) + (k_1 \quad k_2) \int_{-h}^0 e^{-A(\theta+h)} B u(t+\theta) d\theta \\ &= (k_1 \quad k_2) x(t) + (k_1 \quad k_2) \int_{-h}^0 \begin{pmatrix} 1 & 0 \\ e^{-(\theta+h)} - 1 & e^{-(\theta+h)} \end{pmatrix} \begin{pmatrix} 1 \\ 0 \end{pmatrix} u(t+\theta) d\theta \\ &= (k_1 \quad k_2) x(t) + (k_1 \quad k_2) \int_{-h}^0 \begin{pmatrix} 1 & 0 \\ e^{-(\theta+h)} - 1 & e^{-(\theta+h)} \end{pmatrix} u(t+\theta) d\theta \end{aligned}$$

Sustituyendo $k_1 = 1 - 4e^h$ y $k_2 = -4e^h$ tenemos:

$$u(t) = (1 - 4e^h \quad -4e^h) x(t) + (1 - 4e^h \quad -4e^h) \int_{-h}^0 \begin{pmatrix} 1 & 0 \\ e^{-(\theta+h)} - 1 & e^{-(\theta+h)} \end{pmatrix} u(t+\theta) d\theta$$

y podemos meter estas ganancias a la integral, para obtener:

$$\begin{aligned} u(t) &= (1 - 4e^h \quad -4e^h) x(t) + \int_{-h}^0 (1 - 4e^{-\theta}) u(t+\theta) d\theta \\ &= (1 - 4e^h \quad -4e^h) x(t) + \int_{-h}^0 u(t+\theta) d\theta - \int_{-h}^0 4e^{-\theta} u(t+\theta) d\theta \end{aligned}$$

```
In [6]: B = Matrix([[1], [0]])
        K = Matrix([[1 - 4*exp(h), -4*exp(h)]])
```

```
In [7]: (K*exp(-A*(theta + h))*B)[0].simplify()
```

Out [7] :

$$1 - 4e^{-\theta}$$

```
In [8]: x1 = Function("x1")(t)
        x2 = Function("x2")(t)

        X = Matrix([[x1], [x2]])

        u = Function("u")(t + theta)
```

```
In [9]: A*X
```

Out [9] :

$$\begin{bmatrix} 0 \\ x_1 + x_2 \end{bmatrix}$$

```
In [10]: ((K*exp(-A*(theta + h))*B)[0].simplify()*u).integrate((theta, -h, 0))
```

Out [10] :

$$\int_{-h}^0 (e^{\theta} - 4) u(t+\theta) e^{-\theta} d\theta$$

```
In [11]: (K*X)[0] + ((K*exp(-A*(theta + h))*B)[0].simplify()*u).integrate((theta, -h, 0))
```

Out [11]:

$$\left(-4e^h + 1\right)x_1 - 4x_2e^h + \int_{-h}^0 (e^\theta - 4)u(t + \theta)e^{-\theta}d\theta$$

Si aplicamos la transformada de Laplace a esto, obtendremos:

$$u(t) - \int_{-h}^0 u(t + \theta)d\theta + \int_{-h}^0 4e^{-\theta}u(t + \theta)d\theta = (1 - 4e^h)x_1(t) - 4e^hx_2(t)$$

$$\left[1 - \frac{1 - e^{-hs}}{s} + 4\frac{1 - e^{-h(s-1)}}{s - 1}\right]u(s) = (1 - 4e^h)x_1(s) - 4e^hx_2(s)$$

Por lo que el polinomio característico del controlador del sistema es:

$$1 - \frac{1 - e^{-hs}}{s} + 4\frac{1 - e^{-h(s-1)}}{s - 1} = 0$$

Si ahora introducimos los parametros $\alpha_1 = k_1 - k_2 = 1$ y $\alpha_2 = e^{-h}k_2 = -4$, este polinomio característico queda de la forma:

$$1 - \alpha_1\frac{1 - e^{-hs}}{s} - \alpha_2\frac{1 - e^{-h(s-1)}}{s - 1} = 0$$

Este polinomio característico corresponde al controlador del sistema, por otro lado, también tenemos que analizar la estabilidad del sistema bajo esta realimentación, la ecuación para esto es:

$$\dot{x}(t) = \left(A + e^{-Ah}BK\right)x(t)$$

por lo que la función de transferencia del sistema realimentado será:

$$\det(sI - A - e^{-Ah}BK)$$

In [12]: `(s*eye(2) - A - exp(-h*A)*B*K).det()`

Out [12]:

$$s^2 + 2s + 1$$

Por lo que observamos que esta realimentación coloca dos polos en -1 , sin embargo queremos analizar la estabilidad bajo los parametros que establecimos, por lo que notamos que este polinomio puede ser escrito como:

$$s^2 - (1 + \alpha_1 + \alpha_2)s + \alpha_1$$

In [13]: `$\alpha_1, \alpha_2 = K[0] - K[1], \exp(-h)*K[1]$
 α_1, α_2`

Out [13]:

$$(1, -4)$$

In [14]: `$s**2 - (1 + \alpha_1 + \alpha_2)*s + \alpha_1$`

Out [14]:

$$s^2 + 2s + 1$$

Este polinomio característico está libre de retardos, por lo que podemos analizarlo con Routh-Hurwitz y obtener las siguientes condiciones:

$$\alpha_1 > 0$$

$$\alpha_1 < -1 - \alpha_2$$

Por otro lado, si hacemos un analisis de D-particiones, al sustituir $s = 0$ y $s = j\omega$ obtenemos que:

$$\alpha_1 = 0$$

$$\alpha_1 = -1 - \alpha_2$$

```
In [15]: var("α_1 α_2 ω")
```

```
Out[15]:
```

$$(\alpha_1, \alpha_2, \omega)$$

```
In [16]: (s**2 - (1 + α_1 + α_2)*s + α_1).subs(s, 0)
```

```
Out[16]:
```

$$\alpha_1$$

```
In [17]: (s**2 - (1 + α_1 + α_2)*s + α_1).subs(s, 1j*ω).coeff(-1j*ω)
```

```
Out[17]:
```

$$\alpha_1 + \alpha_2 + 1$$

Lo cual es consistente con los resultados de Routh-Hurwitz. Al graficar estas curvas limite de las D-particiones, obtenemos:

```
In [18]: from numpy import linspace, zeros
```

```
In [19]: %matplotlib inline
from matplotlib.pyplot import plot, style, figure, legend, fill
style.use("ggplot")
```

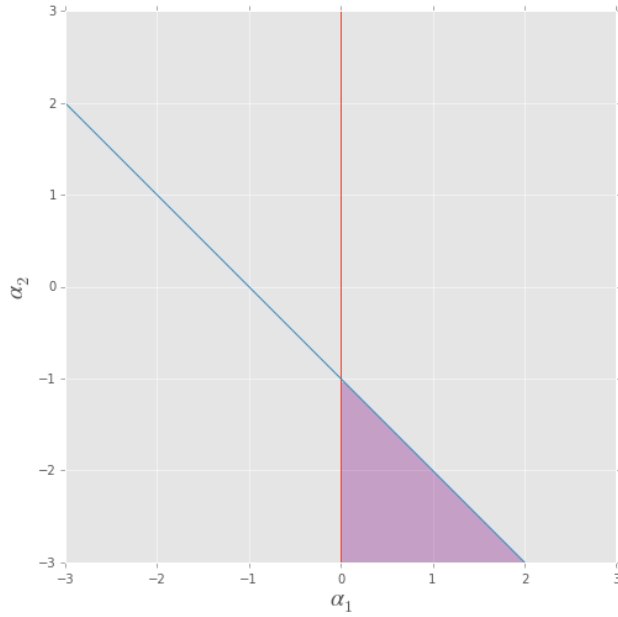
```
In [20]: x = linspace(-4, -1, 100)
alpha1 = linspace(-4, 4, 100)
alpha2 = -alpha1 - 1
```

```
In [21]: f = figure(figsize=(8, 8))
plot(zeros(len(alpha1)), alpha1)
plot(alpha1, alpha2)
```

```
ax = f.gca()
ax.set_xlim(-3, 3)
ax.set_ylim(-3, 3)
```

```
ax.fill_betweenx(alpha2, 0, alpha1, where=alpha1>0, alpha=0.3, facecolor='purple')
```

```
ax.set_xlabel(r"$\alpha_1$", fontsize=20)
ax.set_ylabel(r"$\alpha_2$", fontsize=20);
```



Ejemplo 2

Para el sistema:

$$\dot{x}(t) = \begin{pmatrix} 0 & 1 \\ 0 & 0 \end{pmatrix} x(t) + \begin{pmatrix} 0 \\ 1 \end{pmatrix} u(t-h)$$

con $h = 1$.

In [22]: `var("k1 k2")`

Out[22]:

$$(k_1, k_2)$$

In [23]: `A1 = Matrix([[0, 1], [0, 0]])`
`B1 = Matrix([[0], [1]])`
`K1 = Matrix([[k1, k2]])`

Tiene un polinomio característico:

In [24]: `((s*eye(2) - A1 - exp(-A1*h)*B1*K1).det()).collect(s)`

Out[24]:

$$-k_1 + s^2 + s(hk_1 - k_2)$$

o bien:

$$s^2 + (hk_1 - k_2)s - k_1$$

Al cual podemos aplicar el criterio de estabilidad de Routh-Hurwitz y obtener:

$$k_1 < 0$$

$$k_2 < hk_1$$

Por lo que la gráfica de D-particiones se verá:

```

In [25]: h = 1
         x = linspace(-4, -1, 100)
         K_1 = linspace(-4, 4, 100)
         K_2 = h*K_1

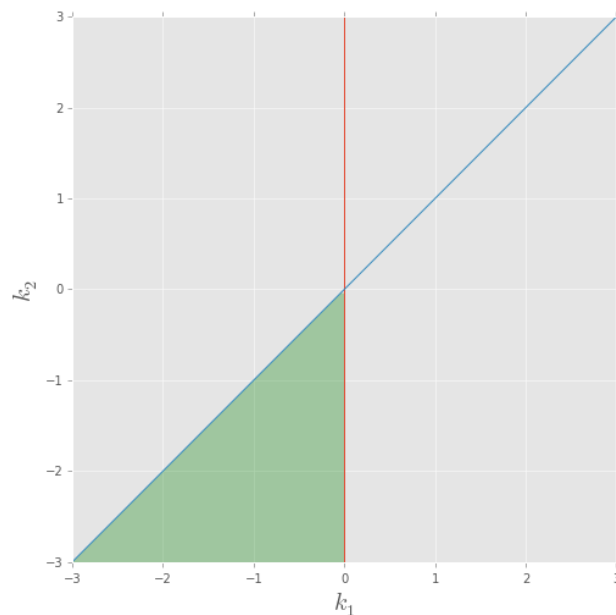
In [26]: f = figure(figsize=(8, 8))
         plot(zeros(len(K_1)), K_1)
         plot(K_1, K_2)

         ax = f.gca()
         ax.set_xlim(-3, 3)
         ax.set_ylim(-3, 3)

         ax.fill_betweenx(K_2, 0, K_1, where=K_1<0, alpha=0.3, facecolor='green')

         ax.set_xlabel(r"$k_1$", fontsize=20)
         ax.set_ylabel(r"$k_2$", fontsize=20);

```



Por otro lado, para analizar el comportamiento del controlador, sustituimos los datos en la ecuación del controlador:

$$\begin{aligned}
 u(t) &= (k_1 \quad k_2) x(t) + (k_1 \quad k_2) \int_{-h}^0 e^{-A(\theta+h)} Bu(t+\theta) d\theta \\
 &= (k_1 \quad k_2) \begin{pmatrix} x_1(t) \\ x_2(t) \end{pmatrix} + (k_1 \quad k_2) \int_{-h}^0 e^{-A(\theta+h)} Bu(t+\theta) d\theta
 \end{aligned}$$

```

In [27]: exp(-A1*(theta + h))

```

```

Out[27]:

```

$$\begin{bmatrix} 1 & -\theta - 1 \\ 0 & 1 \end{bmatrix}$$

$$\begin{aligned}
u(t) &= \begin{pmatrix} k_1 & k_2 \end{pmatrix} \begin{pmatrix} x_1(t) \\ x_2(t) \end{pmatrix} + \int_{-h}^0 \begin{pmatrix} k_1 & k_2 \end{pmatrix} \begin{pmatrix} 1 & -(\theta+h) \\ 0 & 1 \end{pmatrix} \begin{pmatrix} 0 \\ 1 \end{pmatrix} u(t+\theta) d\theta \\
&= k_1 x_1(t) + k_2 x_2(t) - \int_{-h}^0 k_1 \theta u(t+\theta) d\theta - \int_{-h}^0 k_1 h u(t+\theta) d\theta + \int_{-h}^0 k_2 u(t+\theta) d\theta
\end{aligned}$$

y al aplicar la transformada de Laplace, tenemos:

$$u(s) = k_1 x_1(s) + k_2 x_2(s) - k_1 \left(1 - e^{-hs}\right) u(s) - k_1 h \frac{1 - e^{-hs}}{s} u(s) + k_2 \frac{1 - e^{-hs}}{s} u(s)$$

por lo que al pasar a un solo lado todos los terminos de $u(s)$:

$$\left[1 + k_1 \left(1 - e^{-hs}\right) + k_1 h \frac{1 - e^{-hs}}{s} - k_2 \frac{1 - e^{-hs}}{s} \right] u(s) = k_1 x_1(s) + k_2 x_2(s)$$

obtenemos el polinomio caracteristico de la ecuación de control:

$$1 + k_1 \left(1 - e^{-hs}\right) + k_1 h \frac{1 - e^{-hs}}{s} - k_2 \frac{1 - e^{-hs}}{s}$$

y al sustituir $s = j\omega$, obtendremos dos ecuaciones, correspondientes a la parte real e imaginaria:

$$\begin{aligned}
k_1 [h(1 - \cos(\omega h)) - \omega \sin(\omega h)] - k_2 [1 - \cos(\omega h)] &= 0 \\
\omega + k_1 [\omega(1 - \cos(\omega h)) - h \sin(\omega h)] - k_2 \sin(\omega h) &= 0
\end{aligned}$$

por lo que podemos despejar k_2 de ambas ecuaciones y obtener:

$$k_2 = \frac{k_1 [h(1 - \cos(\omega h)) - \omega \sin(\omega h)]}{1 - \cos(\omega h)} = \frac{k_1 [\omega(1 - \cos(\omega h)) - h \sin(\omega h)] + \omega}{\sin(\omega h)}$$

y haciendo un poco de algebra, podemos obtener:

$$\begin{aligned}
&\frac{k_1 [h(1 - \cos(\omega h)) - \omega \sin(\omega h)] \sin(\omega h)}{1 - \cos(\omega h)} - k_1 [\omega(1 - \cos(\omega h)) - h \sin(\omega h)] = \omega \\
&\frac{k_1 h(1 - \cos(\omega h)) \sin(\omega h)}{1 - \cos(\omega h)} - \frac{k_1 \omega \sin^2(\omega h)}{1 - \cos(\omega h)} - k_1 \omega(1 - \cos(\omega h)) - k_1 h \sin(\omega h) = \omega \\
&-\frac{k_1 \omega \sin^2(\omega h)}{1 - \cos(\omega h)} - k_1 \omega(1 - \cos(\omega h)) = \omega \\
&-k_1 \omega \frac{\sin^2(\omega h) + (1 - \cos(\omega h))^2}{1 - \cos(\omega h)} = \omega \\
&k_1 \frac{\sin^2(\omega h) + (1 - \cos(\omega h))^2}{1 - \cos(\omega h)} = -1 \\
&k_1 \frac{\sin^2(\omega h) + 1 + \cos^2(\omega h) - 2 \cos(\omega h)}{1 - \cos(\omega h)} = -1 \\
&k_1 \frac{2 - 2 \cos(\omega h)}{1 - \cos(\omega h)} = -1 \\
&k_1 = -\frac{1}{2}
\end{aligned}$$

por otro lado, podemos reducir aun mas la expresión para k_2 :

$$k_2 = \frac{k_1 [h(1 - \cos(\omega h)) - \omega \sin(\omega h)]}{1 - \cos(\omega h)} = k_1 \left[h - \frac{\omega \sin(\omega h)}{1 - \cos(\omega h)} \right]$$

Si sustituimos un punto a la derecha de esta curva, $(k_1, k_2) = (0, 0)$, podemos ver que el polinomio caracteristico es trivialmente estable por el criterio de Routh-Hurwitz:

$$P(s) = 1$$

por lo que la gráfica de D-particiones para el controlador queda:

```
In [28]: def par1(ω, h):
    from numpy import sin, cos
    num = -1.0
    den = 2.0
    return num/den

    def par2(ω, h):
        from numpy import sin, cos
        num = h - ω*sin(ω*h)/(1 - cos(ω*h))
        den = 2.0
        return num/den

In [29]: from numpy import pi

In [30]: τ = 2*pi
    k_1 = [par1(om, 1.0) for om in linspace(-2*τ, 2*τ, 100)]
    k_2 = [par2(om, 1.0) for om in linspace(-2*τ, 2*τ, 100)]
```

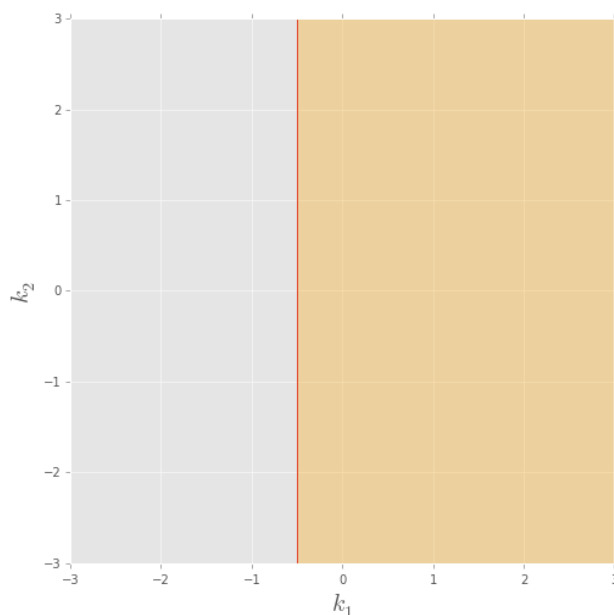
/Users/roberto/miniconda3/lib/python3.4/site-packages/IPython/kernel/_main_.py:9: RuntimeWarning: divi

```
In [31]: f = figure(figsize=(8, 8))
    plot(k_1, k_2)

    ax = f.gca()
    ax.set_xlim(-3, 3)
    ax.set_ylim(-3, 3)

    ax.axvspan(-0.5, 3, alpha=0.3, color='orange')

    ax.set_xlabel(r"$k_1$", fontsize=20)
    ax.set_ylabel(r"$k_2$", fontsize=20);
```



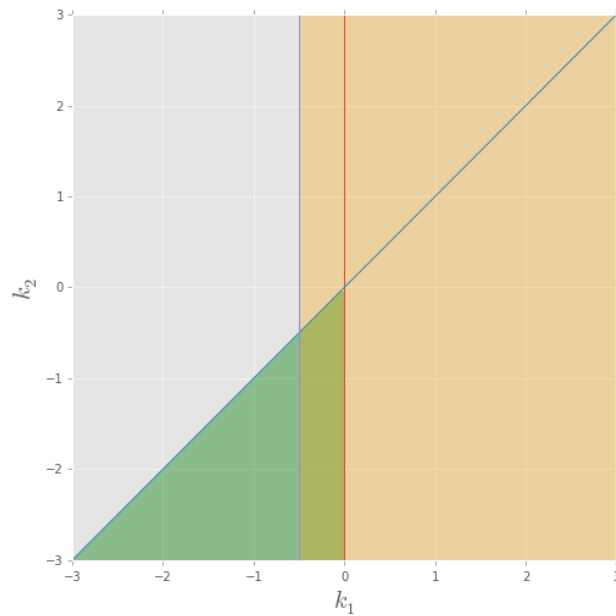
Y el sistema con este controlador será estable para los valores de k_1 y k_2 escogidos tal que se encuentren en la intersección de estas dos regiones:

```
In [32]: f = figure(figsize=(8, 8))
         plot(zeros(len(K_1)), K_1)
         plot(K_1, K_2)
         plot(k_1, k_2)

         ax = f.gca()
         ax.set_xlim(-3, 3)
         ax.set_ylim(-3, 3)

         ax.fill_betweenx(K_2, 0, K_1, where=K_1<0, alpha=0.4, facecolor='green')
         ax.axvspan(-0.5, 3, alpha=0.3, color='orange')

         ax.set_xlabel(r"$k_1$", fontsize=20)
         ax.set_ylabel(r"$k_2$", fontsize=20);
```



Puedes acceder a este notebook a traves de la página
<http://bit.ly/1B705kd>
 o escaneando el siguiente código:

